



**Министерство науки и высшего образования Российской
Федерации
Федеральное государственное бюджетное образовательное
учреждение
высшего образования
«Московский государственный технический университет
имени Н.Э. Баумана
(национальный исследовательский университет)»
(МГТУ им. Н.Э. Баумана)**

ФАКУЛЬТЕТ ИНФОРМАТИКА И СИСТЕМЫ УПРАВЛЕНИЯ

**КАФЕДРА ПРОГРАММНОЕ ОБЕСПЕЧЕНИЕ ЭВМ И ИНФОРМАЦИОННЫЕ
ТЕХНОЛОГИИ (ИУ7)**

НАПРАВЛЕНИЕ ПОДГОТОВКИ 09.04.03 ПРОГРАММНАЯ ИНЖЕНЕРИЯ

О Т Ч Е Т

По лабораторной работе № 4

Дисциплина: Моделирование

Студент

ИУ7-62Б

(Группа)

Н.А. Гарасев

(Подпись, дата)

(И.О. Фамилия)

Преподаватель

В.М. Градов

(Подпись, дата)

(И.О. Фамилия)

Москва, 2021

Тема: Программно-алгоритмическая реализация моделей на основе дифференциальных уравнений в частных производных с краевыми условиями II и III рода.

Цель работы. Получение навыков разработки алгоритмов решения смешанной краевой задачи при реализации моделей, построенных на квазилинейном уравнении параболического типа.

Исходные данные:

1. Дано:

$$K(T) = a_1(b_1 + c_1 T^{m_1}), \text{ Вт/см К},$$

$$c(T) = a_2 + b_2 T^{m_2} - \frac{c_2}{T^2}, \text{ Дж/см}^3\text{К}.$$

$$a_1=0.0134, \quad b_1=1, \quad c_1=4.35 \cdot 10^{-4}, \quad m_1=1,$$

$$a_2=2.049, \quad b_2=0.563 \cdot 10^{-3}, \quad c_2=0.528 \cdot 10^5, \quad m_2=1.$$

$$\alpha(x) = \frac{c}{x-d},$$

$$\alpha_0 = 0.05 \text{ Вт/см}^2 \text{ К},$$

$$\alpha_N = 0.01 \text{ Вт/см}^2 \text{ К},$$

$$l = 10 \text{ см},$$

$$T_0 = 300\text{К},$$

$$R = 0.5 \text{ см},$$

$$F(t) = 50 \text{ Вт/см}^2 \text{ (для отладки принять постоянным)}.$$

2. Уравнение:

$$c(T) \frac{\partial T}{\partial t} = \frac{\partial}{\partial x} \left(k(T) \frac{\partial T}{\partial x} \right) - \frac{2}{R} \alpha(x) T + \frac{2T_0}{R} \alpha(x)$$

3. В обозначениях уравнения лекции

$$F = -k(T) \frac{\partial T}{\partial x}$$

$$p(x) = \frac{2}{R} \alpha(x)$$

$$f(x) = \frac{2T_0}{R} \alpha(x)$$

4. Краевые условия

$$\begin{cases} t = 0, & T(x, 0) = T_0, \\ x = 0, & -k(T(0)) \frac{\partial T}{\partial x} = F_0, \\ x = l, & -k(T(l)) \frac{\partial T}{\partial x} = \alpha_N (T(l) - T_0) \end{cases}$$

Функция $\alpha(x)$ по условию:

$$\alpha(x) = \frac{c}{x - d},$$

5. Разностная схема

$$\hat{A}_n y_{n-1} - \bar{B}_n y_n + \bar{D}_n y_{n+1} = -\hat{G}_n,$$

где

$$\hat{A}_n = \chi_{n-1/2} \frac{\tau}{h},$$

$$\bar{D}_n = \chi_{n+1/2} \frac{\tau}{h},$$

$$\bar{B}_n = \hat{A}_n + \bar{D}_n + \bar{c}_n h + p_n h \tau,$$

$$\hat{F}_n = f_n h \tau + \bar{c}_n y_n h.$$

6. Краевые условия

Разностные аналоги краевых условий при $x = 0$:

$$\left(\frac{h}{8} \bar{c}_{1/2} + \frac{h}{4} \bar{c}_0 + \bar{\chi}_{1/2} \frac{\tau}{h} + \frac{\tau h}{8} p_{1/2} + \frac{\tau h}{4} p_0 \right) \bar{y}_0 + \left(\frac{h}{8} \bar{c}_{1/2} - \bar{\chi}_{1/2} \frac{\tau}{h} + \frac{\tau h}{8} p_{1/2} \right) \bar{y}_1 =$$

$$= \frac{h}{8} \bar{c}_{1/2} (y_0 + y_1) + \frac{h}{4} \bar{c}_0 y_0 + \bar{F} \tau + \frac{\tau h}{4} (\bar{f}_{1/2} + \bar{f}_0)$$

, взяты из лекций 10-11.

Разностные аналоги краевых условий при $x=1$:

$$c(T) \frac{\partial T}{\partial t} = \frac{\partial}{\partial x} \left(k(T) \frac{\partial T}{\partial x} \right) - \frac{2}{R} L(x) T + \frac{2T_0}{R} L(x)$$

$$F = -k(T) \frac{\partial T}{\partial x}$$

$$p(x) = \frac{2}{R} L(x)$$

$$f(x) = \frac{2T_0}{R} L(x)$$

Интегрируем уравнение на отрезке $[x_{N-1/2}, x_N]$ и на временном интервале $[t_m, t_{m+1}]$

$$\int_{x_{N-1/2}}^{x_N} dx \int_{t_m}^{t_{m+1}} c(T) \frac{\partial T}{\partial t} dt = - \int_{t_m}^{t_{m+1}} dt \cdot \int_{x_{N-1/2}}^{x_N} \frac{\partial F}{\partial x} dx -$$

$$- \int_{x_{N-1/2}}^{x_N} dx \int_{t_m}^{t_{m+1}} p(x) T dt + \int_{x_{N-1/2}}^{x_N} dx \int_{t_m}^{t_{m+1}} f(T) dt$$

$$\int_{x_{N-1/2}}^{x_N} \hat{c}(\hat{T} - T) dx = - \int_{t_m}^{t_{m+1}} (F_N - F_{N-1/2}) dt - \int_{x_{N-1/2}}^{x_N} p \hat{T} T dx +$$

$$+ \int_{x_{N-1/2}}^{x_N} \hat{f} T dx$$

$$\begin{aligned}
& (\hat{C}_N(\hat{y}_N - y_N) + \hat{C}_{N-\frac{1}{2}}(\hat{y}_{N-\frac{1}{2}} - y_{N-\frac{1}{2}})) \frac{h}{4} = -\tau(\hat{F}_N - \hat{F}_{N-\frac{1}{2}}) - \\
& - (p_N \hat{y}_N + p_{N-\frac{1}{2}} \hat{y}_{N-\frac{1}{2}}) \tau \cdot \frac{h}{4} + (\hat{f}_N + \hat{f}_{N-\frac{1}{2}}) \cdot \tau \cdot \frac{h}{4} \\
& \hat{F}_N = L_N(\hat{y}_N - T_0); \quad \hat{F}_{N-\frac{1}{2}} = \hat{x}_{N-\frac{1}{2}} \frac{y_{N-1} - y_N}{h} \\
& \hat{C}_N \hat{y}_N \frac{h}{4} - \hat{C}_N \hat{y}_N \frac{h}{4} + \hat{C}_{N-\frac{1}{2}} \hat{y}_N \frac{h}{8} + \hat{C}_{N-\frac{1}{2}} \hat{y}_{N-\frac{1}{2}} \frac{h}{8} - \hat{C}_{N-\frac{1}{2}} \hat{y}_N \frac{h}{8} - \\
& - \hat{C}_{N-\frac{1}{2}} \hat{y}_{N-1} \frac{h}{8} = -\tau \cdot L_N \cdot \hat{y}_N + \tau \cdot L_N \cdot T_0 + \tau \cdot \hat{x}_{N-\frac{1}{2}} \cdot \frac{y_{N-1} - y_N}{h} - \\
& - \tau \cdot \hat{x}_{N-\frac{1}{2}} \cdot \frac{y_N}{h} - p_N \hat{y}_N \cdot \tau \cdot \frac{h}{4} - p_{N-\frac{1}{2}} \hat{y}_N \cdot \tau \cdot \frac{h}{8} - p_{N-\frac{1}{2}} \hat{y}_{N-1} \cdot \tau \cdot \frac{h}{8} + \\
& + (\hat{f}_N + \hat{f}_{N-\frac{1}{2}}) \cdot \tau \cdot \frac{h}{4} \\
& \hat{y}_{N-1} \left(\hat{C}_{N-\frac{1}{2}} \frac{h}{8} - \frac{\tau \hat{x}_{N-\frac{1}{2}}}{h} + p_{N-\frac{1}{2}} \tau \frac{h}{8} \right) + \\
& + \hat{y}_N \left(\hat{C}_N \frac{h}{4} + \hat{C}_{N-\frac{1}{2}} \frac{h}{8} + \tau L_N + \frac{\tau \hat{x}_{N-\frac{1}{2}}}{h} + p_N \tau \frac{h}{4} + p_{N-\frac{1}{2}} \tau \frac{h}{8} \right) = \\
& = \hat{C}_{N-\frac{1}{2}} \left(\hat{y}_N \frac{h}{8} + \hat{y}_{N-1} \frac{h}{8} \right) + \hat{C}_N \hat{y}_N \frac{h}{4} + \tau L_N T_0 + (\hat{f}_N + \hat{f}_{N-\frac{1}{2}}) \tau \frac{h}{4}
\end{aligned}$$

Используя полученные краевые условия, можно найти коэффициенты $K_0, M_0, P_0, K_N, M_N, P_N$.

$$\begin{cases} \bar{K}_0 \bar{y}_0 + \bar{M}_0 \bar{y}_1 = \bar{P}_0, \\ \bar{A}_n \bar{y}_{n-1} - \bar{B}_n \bar{y}_n + \bar{D}_n \bar{y}_{n+1} = -\bar{F}_n, \quad 1 \leq n \leq N-1, \\ \bar{K}_N \bar{y}_N + \bar{M}_{N-1} \bar{y}_{N-1} = \bar{P}_N \end{cases}$$

7. Метод простых итераций.

$$\widehat{A}_n^{s-1} \widehat{y}_{n+1}^s - \widehat{B}_n^{s-1} \widehat{y}_n^s + \widehat{D}_n^{s-1} \widehat{y}_{n-1}^s = -\widehat{F}_n^{s-1},$$

, где s – номер итерации.

Итерации прекращаются при условии:

$$\max \left| \frac{y_n^s - y_n^{s-1}}{y_n^s} \right| \leq \varepsilon_1, \text{ для всех } n = 0, 1, \dots, N$$

Листинг программы

Листинг 1. Данные.

```
import matplotlib.pyplot as plt
import numpy as np
from math import fabs

a1 = 0.0134
b1 = 1
c1 = 4.35e-4
m1 = 1
a2 = 2.049
b2 = 0.563e-3
c2 = 0.528e5
m2 = 1
alpha0 = 0.05
alphaN = 0.01
l = 10
T0 = 300
R = 0.5
F0 = 50
h = 0.01
t = 1
```

Листинг 2. Вспомогательные функции

```
def k(T):
    return a1 * (b1 + c1 * T ** m1)

def c(T):
    return a2 + b2 * T ** m2 - c2 / T ** 2

def alpha(x):
    d = (alphaN * l) / (alphaN - alpha0)
    c = - alpha0 * d
    return c / (x - d)

def p(x):
    return 2 * alpha(x) / R

def f(x):
```

```

    return 2 * alpha(x) * T0 / R

def func_plus_1_2(x, step, func):
    return (func(x) + func(x + step)) / 2

def func_minus_1_2(x, step, func):
    return (func(x) + func(x - step)) / 2

def A(T):
    return func_minus_1_2(T, t, k) * t / h

def D(T):
    return func_plus_1_2(T, t, k) * t / h

def B(x, T):
    return A(T) + D(T) + c(T) * h + p(x) * h * t

def F(x, T):
    return f(x) * h * t + c(T) * T * h

```

Листинг 3. Расчет коэффициентов.

```

K0 = h / 8 * func_plus_1_2(prevT[0], t, c) + h / 4 * c(prevT[0]) + \
      func_plus_1_2(prevT[0], t, k) * t / h + \
      t * h / 8 * p(h / 2) + t * h / 4 * p(0)

M0 = h / 8 * func_plus_1_2(prevT[0], t, c) - \
      func_plus_1_2(prevT[0], t, k) * t / h + \
      t * h * p(h / 2) / 8

P0 = h / 8 * func_plus_1_2(prevT[0], t, c) * (prevT[0] + prevT[1]) + \
      h / 4 * c(prevT[0]) * prevT[0] + \
      F0 * t + t * h / 8 * (3 * f(0) + f(h))

KN = h / 8 * func_minus_1_2(prevT[-1], t, c) + h / 4 * c(prevT[-1]) + \
      func_minus_1_2(prevT[-1], t, k) * t / h + t * alphaN + \
      t * h / 8 * p(1 - h / 2) + t * h / 4 * p(1)

MN = h / 8 * func_minus_1_2(prevT[-1], t, c) - \
      func_minus_1_2(prevT[-1], t, k) * t / h + \
      t * h * p(1 - h / 2) / 8

PN = h / 8 * func_minus_1_2(prevT[-1], t, c) * (prevT[-1] + prevT[-2]) + \
      h / 4 * c(prevT[-1]) * prevT[-1] + t * alphaN * T0 + \
      t * h / 4 * (f(1) + f(1 - h / 2))

```

Листинг 4. Прямой ход.

```

eps = [0, -M0 / K0]
eta = [0, P0 / K0]

x = h
n = 1
while (x + h < 1):
    eps.append(D(prevT[n]) / (B(x, prevT[n]) - A(prevT[n]) * eps[n]))
    eta.append((F(x, prevT[n]) + A(prevT[n]) * eta[n]) / (B(x, prevT[n]) \
                                                         - A(prevT[n]) * eps[n]))

    n += 1
    x += h

```

Листинг 5. Обратный ход.

```
y = [0] * (n + 1)
y[n] = (PN - MN * eta[n]) / (KN + MN * eps[n])

for i in range(n - 1, -1, -1):
    y[i] = eps[i + 1] * y[i + 1] + eta[i + 1]

return y
```

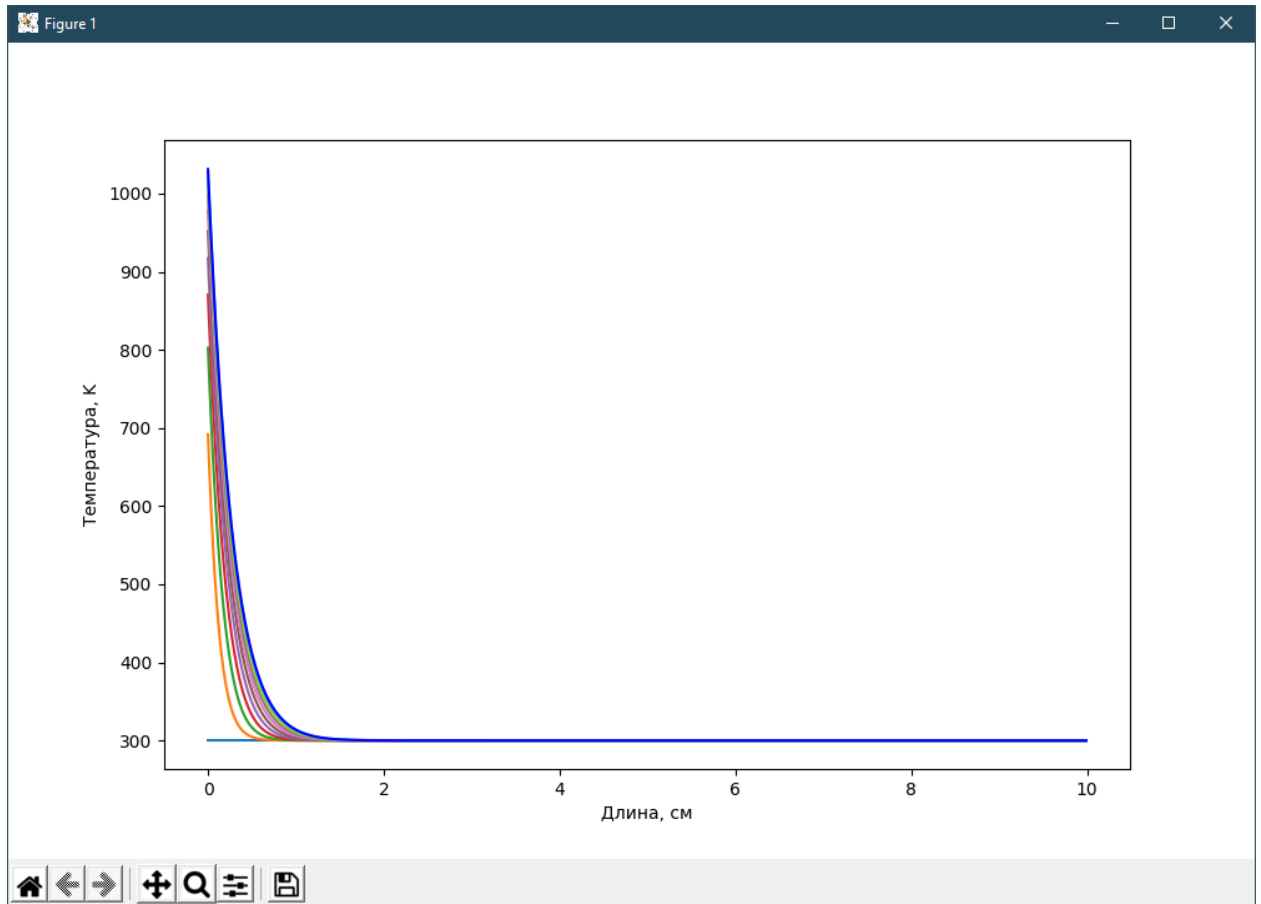
Листинг 6. Проверка выхода из цикла.

```
def check_eps(T, newT):
    for i, j in zip(T, newT):
        if fabs((i - j) / j) > 1e-2:
            return True
    return False

def check_iter(T, newT):
    max = fabs((T[0] - newT[0]) / newT[0])
    for i, j in zip(T, newT):
        d = fabs(i - j) / j
        if d > max:
            max = d
    return max < 1
```

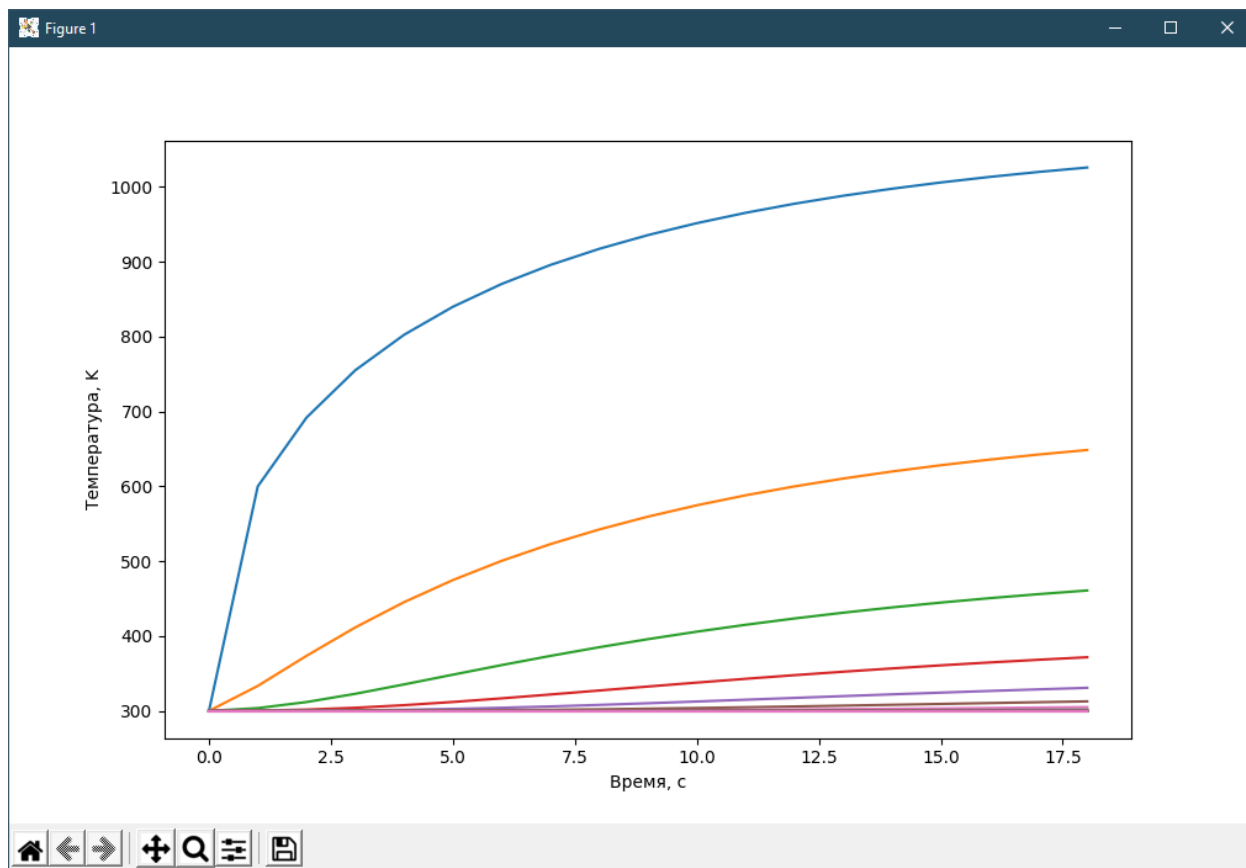

Результаты работы.

График зависимости температуры от координаты при нескольких фиксированных значениях времени.



При фиксированных значениях времени $t = 0, 2, 4, 8, \dots$. Синяя кривая (самая нижняя) соответствует установившемуся режиму, когда поле меняется с точностью $\epsilon_{ps} = 1e-3$.

График зависимости температуры от времени при нескольких фиксированных значениях координаты.



Длина x изменяется от 0,2 до 3,2 с шагом 0,2.

Ответы на вопросы.

Протестируем программу на примерах из третьей лабораторной работы. При $F_0 = 0$, температура стержня должна оставаться неизменной и должна быть равна температуре внешней среды T_0 .



При отрицательном тепловом потоке (F_0) происходит съём тепла. Чему соответствуют графики, представленные ниже.

